

京都大学防災研究所 正会員 土屋義人
 岐阜大学工学部 正会員 安田孝志
 京都大学防災研究所 正会員 山下隆男

1. 緒言 有限振幅波の質量輸送について、1847年 Stokes によると、 ζ Lagrange 座標での質量輸送の存在が示されて以来、今日まで数多くの研究がなされてきたが、速度の任意性に伴う問題や波浪水槽自体に起因する問題のため、進行波の質量輸送の特性にまだ不明な点があるようと思われる。ここでは、著者らがこれまで実施してきた研究の成果から、著者らの進行波による質量輸送に対する見解を明らかにしてい。

2. 質量輸送に関する理説的取扱い これまでの最も一般的な取扱いとしては、非粘性非回転流体場におけるものおよび水面や水底での粘性効果を考慮したものがあり、前者については Stokes によるものが著名であり、それと同様のよう ζ Stokes の速度の定義に基づいて式で表される。

$$\text{Stokes の速度の第1定義: } \bar{U}_H = 4\bar{U}/H^2 \kappa k = \cosh 2kz / 2 \sinh^2 kh, Q = (\rho \kappa H^2 / 4T) \coth kh, \bar{U} = 0 \quad (1)$$

Stokes の速度の第2定義: $\bar{U}_H = 4\bar{U}/H^2 \kappa k = \cosh 2kz / 2 \sinh^2 kh - \coth kh / 2kh, Q = 0, \bar{U} = -\kappa k H^2 \coth kh / 8kh \quad (2)$
 ここに、 \bar{U} および \bar{U}_H ; Lagrange および Euler 座標における質量輸送速度、 H : 波高、 h : 平均水深、 $\kappa = 2\pi/\lambda$ 、
 T : 周期、 $k = \kappa/\lambda$ 、 L : 波長、 Q : 質量流束、および \bar{U} : 未定を原点とする鉛直座標である。これより、Euler 座標では波の進行方向に質量輸送速度は存在しないが、水面変動に伴って質量流束が存在し、それは Lagrange 座標での質量輸送速度を水底から水面まで積分して得られる全輸送量に等しいことがわかる。また、クノイド波については、Le Méhauté が Laitone の理論を用いて一つの表示を得ているが、独立波への接続に問題のあることから、著者らが Laitone の理論を用いて計算した結果を示せば、次式のようである。

$$\text{Stokes の速度の第1定義: } \bar{U}/\sqrt{h} = (H/k)^2 [-(E/F) \{3(E/F) + 2k^2 - 4\} + k^2 - 1] / 3, Q/\rho h \sqrt{h} = \bar{U}/\sqrt{h}, \bar{U} = 0 \quad (3)$$

Stokes の速度の第2定義: $\bar{U}/\sqrt{h} = 0, Q/\rho h \sqrt{h} = 0, \bar{U}/\sqrt{h} = -(H/k)^2 [-(E/F) \{3(E/F) + 2k^2 - 4\} + k^2 - 1] / 3 \quad (4)$
 ここに、 F および E はそれぞれ一種および二種の完全機能関数であり、 k はその母数である。さらに、著者らが提案している底減せつ動法による機 Stokes 波理論およびクノイド波理論によれば、質量輸送速度 \bar{U} はそれら式のように表される。

$$\bar{U}/\sqrt{h} = (\lambda^2/16) \{1 - ((1/2)(2\pi h/L)^2) + (\lambda^2/8)(\sqrt{h}/C) [1 + (2/3)(2\pi h/L)^2 \{3(\lambda h)^2 - 1\}\}] \quad (5)$$

$$\begin{aligned} \bar{U}/\sqrt{h} = & (\lambda^2/64) \{1 + 2((\sqrt{h})^2) \{[-(E/F) \{3(E/F) + 2k^2 - 4\} + k^2 - 1] + (\lambda^2/20k^2) [35(E/F)^2 E/F + k^2 - 2] + (E/F) \{(k^2 - 4)(k^2 + 4)\} - 3(k^2 - 2k^2 + 2)\} \\ & + (2\lambda^2/5k^2) (C/\sqrt{h})^2 (2\lambda h)^2 \{2(E/F) \{(k^2 - 1)^2 + 2k^2 - 2\} + (\lambda^2/10k^2) (C/\sqrt{h})^2 [5(E/F)^2 (E/F) + 10k^2 - 17] + (E/F) \{(12k^2 - 57k^2 + 47) - 6k^2 + 13k^2 - 7\} \\ & + (\lambda^2/15k^2) (C/\sqrt{h})^2 [15(E/F)^2 E/F + k^2 - 2] + (E/F) \{(4k^2 - 19k^2 + 19) - 2k^2 + 6k^2 - 4\}\} \end{aligned} \quad (6)$$

ここに、 λ および入る λ は底減せつ動法における λ とそれを λh に対応する展開 $(\lambda h)^2 \times A$ である。一方、これらの理論では、速度ポテンシャルおよび水面変動が同一特性曲線上において一定値を取るとして展開されている結果、Euler 座標においても質量輸送速度が存在し、それが次式のように表される。

$$\bar{U}/\sqrt{h} = (\lambda^2/16) \{1 - ((1/2)(2\pi h/L)^2\} \quad (7)$$

$$\bar{U}/\sqrt{h} = (\lambda^2/64) \{-(E/F) \{3(E/F) + 2k^2 - 4\} + k^2 - 1\} + (\lambda^2/20k^2) [35(E/F)^2 E/F + k^2 - 2] + (E/F) \{(k^2 - 4)(k^2 + 4)\} - 3(k^2 - 2k^2 + 2) \quad (8)$$

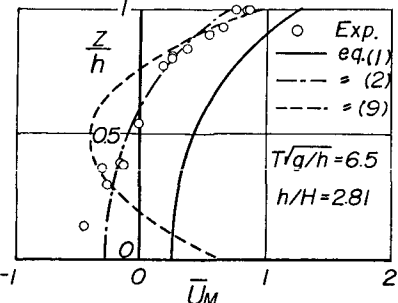
このように、著者らの取扱いでは、非線形効果によると ζ Lagrange 座標のみならず、Euler 座標においても平均速度が生じ、これによると質量が輸送されることが示される。こうして平均速度が生じる物理的根拠は明らかでなく、なお検討すべき点もあるが、Euler 座標において輸送現象を考える場合には都合が良いだろう。

一方、後者については、Longuet-Higgins はじめ Huang らによて研究されてきたが、それは次式で表される。

$$4\bar{U}/H^2 \kappa k = (1/\sinh^2 kh) [3 + 2 \cosh 2kz + 3kh \{3(z/h)^2 - 2(z/h)\} \sinh 2kh + 3 \{(z/h)^2 - 2(z/h)\} \tanh 2kh / 2kh + 3/z] \quad (9)$$

なお、この場合についても仕事性の問題は生じており、上式は Stokes の波速の $\lambda/2$ 定義によっているので、全質量輸送量はゼロとはしてあり、このときの質量輸送は、周知のように水面および水底付近のみで行われることになる。

3. 質量輸送の実験値との比較 これまでの質量輸送に関する実験結果としては、Longuet-Higgins の理論の検証を行なった Russell らによるものに著名である。それは、端部のある通常の波浪水槽において、造波開始後十分間の時間が経過し、境界層からの漏度の拡散が十分定常になら、圧力差に対する応答として測定されたものであり、Longuet Higgins の結果とよく一致したと述べられている。これに対し、反射波の影響を除去するという立場から、造波直後の散波を除いてその後の散波を用いた場合での実験結果としては、図-1 に示す土屋らによるものや最近では平山の研究がある。これより、漏度の拡散が十分十分な段階では、粘性の効果を無視した式(2)による結果がよく対応することわかる。このように、従来の波浪水槽による結果では、いづれの場合ももどり流れのために質量流束がゼロとなり、波速の $\lambda/2$ 定義を用いた理論結果と対応することがわかる。この点について



この、著者らはすでに水槽端部の影響を指摘し、定形進行波による

図-1 土屋による実験結果と従来の理論結果との比較
質量輸送の実験では端部の影響を除いて水槽を用いることが必須であることを述べるとともに、新波浪水槽を開発し、質量輸送に関する実験を行なった。図-2 は、この水槽による波形および質量輸送の一様性および定常性が確保された場合の鉛直分布を示したものである。これから、従来の結果と大きく異なり、全断面にわたって質量の輸送が生じ、そのオーダーも著者らの理論と対応することわかる。その後、著者らは、従来の波浪水槽において、底部を二重床として、その上部を進行波、下部は質量輸送によるもどり流れ用とし、端部に完全に無反射で消波させる消波装置を取り付けた水槽を開発することにより、同一の波の条件に対して下部水槽の開口部を閉じた場合と開けた場合とで実験を行なった。図-3 はその結果を示したものであり、これら、端部拘束のある場合には、図-1 図-2 新波浪水槽による実験結果と理論結果との比較

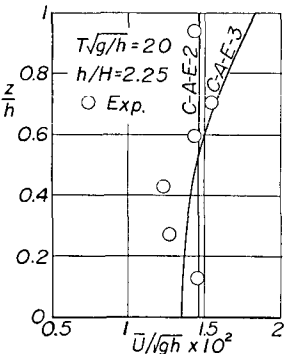


図-3 はその結果を示したものであり、これら、端部拘束のある場合には、図-1 図-2 新波浪水槽による実験結果と対応した結果が得られるのにに対し、拘束を除去了した場合には、図-2 に比べてそのオーダーは小さいが、全断面にわたって質量輸送され、水槽端部の条件に応じて質量輸送の特性が著しく変化することがわかる。このように、質量輸送を用いる理論および実験条件に応じて大きく変化するため、これまでの理論および実験結果を用いる場合には、それらがどのような条件に対応するものであるか明らかにしておくことが重要と言えよう。

4. 結語 以上、本研究によると、端部による波動の場の拘束のためにもどり流れが生ずると考えられる場合に対しては、 $\lambda/2$ 定義による理論の適用が考えられ、一方そうした拘束のない場合には、 $\lambda/1$ 定義による理論あるいは著者らの理論のいずれがより適切かといふ点については、今後、さらに詳細な検討が必要であるが、定形進行波の質量輸送は全断面にわたって進行方向に存在するという事実は強調されてよいだろう。

参考文献 1) 土屋義人・鶴村隆：進行波における質量輸送に関する基礎的研究、昭和47年度関西支部年次講演会要旨
2) 土屋義人・安藤亮一・山下雅男：新波浪水槽による有限振幅波の波速・質量輸送速度について、第30回年次講演会要旨